

Starkniederschlagshöhen und -spenden gemäß KOSTRA-DWD-2010R

Auswertungszeitraum von 1951 - 2010, Januar - Dezember

Rasterfeld: 96019

Zeile: 96

Spalte: 19

Seite: 1/2

| Dauerstufe D | Wiederkehrzeit T | | | | | | | | | | | | | | | | | | |
|--------------|------------------|------|------------|------|------------|------|------------|------|------------|-------|------------|-------|------------|-------|------------|-------|------------|-------|------------|
| | 1 a | | 2 a | | 3 a | | 5 a | | 10 a | | 20 a | | 30 a | | 50 a | | 100 a | | |
| min | Std | mm | l / (s ha) | mm | l / (s ha) | mm | l / (s ha) | mm | l / (s ha) | mm | l / (s ha) | mm | l / (s ha) | mm | l / (s ha) | mm | l / (s ha) | mm | l / (s ha) |
| 5 | | 5,6 | 186,7 | 7,6 | 253,3 | 8,8 | 293,3 | 10,3 | 343,3 | 12,3 | 410,0 | 14,4 | 480,0 | 15,6 | 520,0 | 17,1 | 570,0 | 19,1 | 636,7 |
| 10 | | 8,8 | 146,7 | 11,6 | 193,3 | 13,2 | 220,0 | 15,2 | 253,3 | 17,9 | 298,3 | 20,6 | 343,3 | 22,2 | 370,0 | 24,2 | 403,3 | 27,0 | 450,0 |
| 15 | | 11,0 | 122,2 | 14,2 | 157,8 | 16,1 | 178,9 | 18,5 | 205,6 | 21,8 | 242,2 | 25,0 | 277,8 | 26,9 | 298,9 | 29,3 | 325,6 | 32,5 | 361,1 |
| 20 | | 12,5 | 104,2 | 16,2 | 135,0 | 18,3 | 152,5 | 21,0 | 175,0 | 24,7 | 205,8 | 28,3 | 235,8 | 30,5 | 254,2 | 33,1 | 275,8 | 36,8 | 306,7 |
| 30 | | 14,6 | 81,1 | 18,9 | 105,0 | 21,4 | 118,9 | 24,6 | 136,7 | 29,0 | 161,1 | 33,3 | 185,0 | 35,8 | 198,9 | 39,0 | 216,7 | 43,3 | 240,6 |
| 45 | | 16,3 | 60,4 | 21,5 | 79,6 | 24,5 | 90,7 | 28,3 | 104,8 | 33,4 | 123,7 | 38,5 | 142,6 | 41,5 | 153,7 | 45,3 | 167,8 | 50,5 | 187,0 |
| 60 | | 17,4 | 48,3 | 23,2 | 64,4 | 26,6 | 73,9 | 30,9 | 85,8 | 36,7 | 101,9 | 42,4 | 117,8 | 45,8 | 127,2 | 50,1 | 139,2 | 55,9 | 155,3 |
| 90 | | 19,9 | 36,9 | 25,9 | 48,0 | 29,4 | 54,4 | 33,8 | 62,6 | 39,8 | 73,7 | 45,8 | 84,8 | 49,3 | 91,3 | 53,7 | 99,4 | 59,7 | 110,6 |
| 120 | 2 | 21,9 | 30,4 | 28,1 | 39,0 | 31,7 | 44,0 | 36,2 | 50,3 | 42,3 | 58,8 | 48,4 | 67,2 | 52,0 | 72,2 | 56,6 | 78,6 | 62,7 | 87,1 |
| 180 | 3 | 25,1 | 23,2 | 31,4 | 29,1 | 35,2 | 32,6 | 39,8 | 36,9 | 46,2 | 42,8 | 52,5 | 48,6 | 56,2 | 52,0 | 60,9 | 56,4 | 67,3 | 62,3 |
| 240 | 4 | 27,6 | 19,2 | 34,1 | 23,7 | 37,9 | 26,3 | 42,7 | 29,7 | 49,2 | 34,2 | 55,7 | 38,7 | 59,5 | 41,3 | 64,3 | 44,7 | 70,8 | 49,2 |
| 360 | 6 | 31,6 | 14,6 | 38,3 | 17,7 | 42,3 | 19,6 | 47,2 | 21,9 | 54,0 | 25,0 | 60,7 | 28,1 | 64,6 | 29,9 | 69,6 | 32,2 | 76,3 | 35,3 |
| 540 | 9 | 36,2 | 11,2 | 43,2 | 13,3 | 47,2 | 14,6 | 52,3 | 16,1 | 59,3 | 18,3 | 66,2 | 20,4 | 70,3 | 21,7 | 75,4 | 23,3 | 82,4 | 25,4 |
| 720 | 12 | 39,8 | 9,2 | 47,0 | 10,9 | 51,1 | 11,8 | 56,4 | 13,1 | 63,5 | 14,7 | 70,6 | 16,3 | 74,8 | 17,3 | 80,0 | 18,5 | 87,1 | 20,2 |
| 1080 | 18 | 45,6 | 7,0 | 53,0 | 8,2 | 57,3 | 8,8 | 62,7 | 9,7 | 70,1 | 10,8 | 77,4 | 11,9 | 81,7 | 12,6 | 87,2 | 13,5 | 94,5 | 14,6 |
| 1440 | 24 | 50,2 | 5,8 | 57,7 | 6,7 | 62,2 | 7,2 | 67,7 | 7,8 | 75,2 | 8,7 | 82,8 | 9,6 | 87,2 | 10,1 | 92,8 | 10,7 | 100,3 | 11,6 |
| 2880 | 48 | 65,0 | 3,8 | 74,0 | 4,3 | 79,3 | 4,6 | 85,9 | 5,0 | 94,9 | 5,5 | 103,9 | 6,0 | 109,1 | 6,3 | 115,8 | 6,7 | 124,8 | 7,2 |
| 4320 | 72 | 75,6 | 2,9 | 85,4 | 3,3 | 91,2 | 3,5 | 98,5 | 3,8 | 108,3 | 4,2 | 118,1 | 4,6 | 123,9 | 4,8 | 131,2 | 5,1 | 141,0 | 5,4 |

Angaben in mm: Bemessungsniederschlagswerte h(n)

Angaben in l / (s ha): Regenspende R(n) mit $R(n) = h(n) \times 1,666667 / D[\text{min}]$

Toleranzbereiche:

+/- 10 % für $1 \text{ a} \leq T \leq 5 \text{ a}$

+/- 15 % für $5 \text{ a} < T \leq 50 \text{ a}$

+/- 20 % für $50 \text{ a} < T \leq 100 \text{ a}$

Datenbasis: KOSTRA-DWD-2010R des Deutschen Wetterdienstes. Die Regenspende wurde auf Basis des Bemessungsniederschlags zur jeweiligen Andauer berechnet.

Für die Richtigkeit und Aktualität der Angaben wird keine Gewähr übernommen. Erstellt 07/2022.

Starkniederschlagshöhen und -spenden gemäß KOSTRA-DWD-2010R

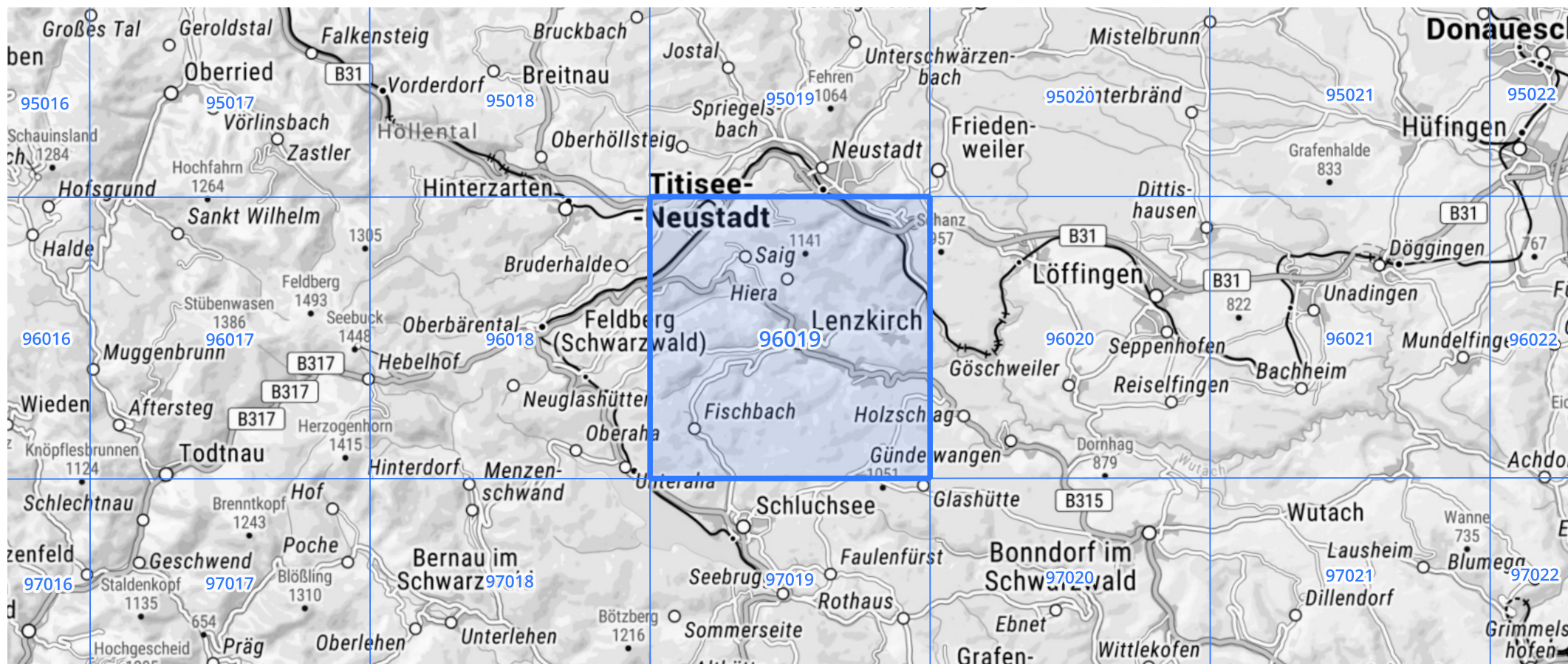
Auswertungszeitraum von 1951 - 2010, Januar - Dezember

Rasterfeld: 96019

Zeile: 96

Spalte: 19

Seite: 2/2



Quelle Rasterdaten: KOSTRA-DWD-2010R des Deutschen Wetterdienstes.

Kartendarstellung: © Bundesamt für Kartographie und Geodäsie (2022), Datenquellen: https://sgx.geodatenzentrum.de/web_public/gdz/datenquellen/Datenquellen_TopPlusOpen.html

Für die Richtigkeit und Aktualität der Angaben wird keine Gewähr übernommen. Erstellt 07/2022.